

**ЛАМИНАРНЫЙ ПОГРАНИЧНЫЙ СЛОЙ В ВЫСОКОСКОРОСТНОМ
ГАЗОВОМ ПОТОКЕ ПРИ ПЕРЕМЕННОМ ТЕПЛОВОМ
УСЛОВИИ НА СТЕНКЕ**

В. Сальников и З. Боричич

(Сообщено 26 июня 1974)

I. Универсализация рассматриваемой проблемы

Как уже показано в работе [1], уравнения пограничного слоя для случая ламинарного плоского и стационарного течения сжимаемого газа при больших скоростях, преобразованные посредством трансформаций Дорродницына-Стюартсона, могут быть приведены к универсальному виду нечто иным способом нежели это было достигнуто ранее Капустянским [4].

Для этого было необходимо преобразовать, сперва, исходную систему уравнений рассматриваемой проблемы, посредством перенятых из работы [2] трансформаций:

$$(1) \quad X, \eta = g(X) \frac{U_e^{b/2}}{\nu_1 \sqrt{2X}} Y, \quad \psi(X, Y) = \frac{1}{g(X)} \nu_1 U_e^{1-b/2} \sqrt{2X} \Phi(X, \eta)$$

также как и тепловой функции

$$(2) \quad S = \frac{h_0}{h_1} - 1,$$

со следующими обозначениями:

X, Y	— переменные Дорродницына-Стюартсона
U	— скорость в пограничном слое
U_e	— скорость внешнего течения
ν_1	— кинематическая вязкость
$g(X)$	— функция подлежащая определению
b	— произвольная постоянная
h_1	— энталпия адиабатически заторможенного газа во внешнем течении
h_0	— энталпия в пограничном слое
ψ	— функция тока

При этом использовано уравнение импульсов

$$(3) \quad \frac{df}{dX} = \frac{U'_e}{U_e} F + \frac{U''_e}{U'_e} f \quad \text{или} \quad \frac{dZ^{**}}{dX} = \frac{F}{U_e},$$

где

$$Z^{**} = \frac{\Delta^{**2}}{\nu_1},$$

со следующими в теории пограничного слоя привычными величинами

$$(4) \quad \Delta^* = \int_0^\infty \left(1 + S - \frac{U}{U_e}\right) dY, \quad \Delta^{**} = \int_0^\infty \frac{U}{U_e} \left(1 - \frac{U}{U_e}\right) dY, \quad F = 2[\zeta - (2 + H)f]$$

$$\zeta = \left[\frac{\partial(U/U_e)}{\partial(Y/\Delta^{**})} \right]_{Y=0}, \quad H = \Delta^*/\Delta^{**}, \quad f = \frac{U'_e \Delta^{**2}}{\nu_1}$$

приведенными посредством выражений (1), (3) к виду

$$(5) \quad \Delta^* = \frac{\nu_1 \sqrt{2X} A(X)}{U_e^{b/2} g(X)}, \quad \text{где} \quad A(X) = \int_0^\infty (1 - \Phi_\eta + S) d\eta;$$

$$\Delta^{**} = \frac{\nu_1 \sqrt{2X} B(X)}{U_e^{b/2} g(X)}, \quad \text{где} \quad B(X) = \int_0^\infty \Phi_\eta (1 - \Phi_\eta) d\eta;$$

$$F = \frac{aB^2 - bf}{1 - \frac{2}{B} f \frac{dB}{df}}; \quad \zeta = B(\Phi_{\eta\eta})_{\eta=0}; \quad H = A/B.$$

$$(6) \quad f = \frac{2\nu_1 X U'_e B^2(X)}{U_e^b g^2(X)}.$$

Дифференциальные уравнения, преобразованные указанным способом, могут быть, для случая особого теплового условия на стенке ($\eta=0$: $S=S_w = \text{const.}$), как уже показано в работе [1], посредством известной, Л.Г. Лойцяньским [3] определенной системы формпараметров

$$(7) \quad f_k = U_e^{k-1} \frac{d^k U_e}{dX^k} (Z^{**})^k, \quad \text{где} \quad f_1 = f \quad (k = 1, 2, \dots, \infty)$$

переключающей роль независимой переменной X , вернее при помощи рекуррентного соотношения

$$(8) \quad \frac{U_e f_1}{U_e'} \frac{df_k}{dX} = [(k-1)f_1 + kF]f_k + f_{k+1} = \theta_k \quad (k = 1, 2, \dots, \infty)$$

и дифференциального преобразования

$$(9) \quad \frac{U_e f_1}{U_e'} \frac{\partial}{\partial X} = \sum_{k=0}^{\infty} \theta_k \frac{\partial}{\partial f_k},$$

приведены к универсальному виду, причем f_0 обозначает так-называемый „параметр сжимаемости“ (т.е. $\kappa=f_0$), а θ_0 определено выражением $\theta_0=2 \kappa(\kappa-1)f_1$.

Нужно отметить что эти дифференциальные уравнения представляют в некотором отношении обобщение универсальных уравнений Капустянского [4], поскольку, в особом случае, определенном условием $B=\text{const.}$, они приводятся к его системе.

В более общем случае переменного распределения тепловой функции на стенке $S_w(X)$, рассматриваемом в этой работе, необходимо сперва, посредством соотношения

$$(10) \quad S(X, \eta) = S_w(X) H(X, \eta) + S_1(X, \eta)$$

произвести разложение энергетического уравнения на два дифференциальных уравнения, определяющих введенные функции $H(X, \eta)$ и $S_1(X, \eta)$.

Для универсализации полученных таким образом трех преобразованных дифференциальных уравнений и соответствующих граничных условий необходимо, кроме ранее использованной системы формпараметров (7), ввести в рассмотрение еще одну систему следующего вида

$$(11) \quad \alpha_k = U_e^{k-1} \frac{d^{k-1} \alpha}{dX^{k-1}} (Z^{**})^{k-1}; \quad (k = 1, 2, \dots, \infty),$$

где

$$\alpha_1 = \alpha(X) = S_w(X),$$

удовлетворяющую рекуррентное соотношение

$$(12) \quad \frac{U_e f_1}{U_e'} \frac{d \alpha_k}{dX} = (k-1) (f_1 + F) \alpha_k + \alpha_{k+1} = G_k$$

Таким образом, при помощи соответствующего дифференциального преобразования

$$(13) \quad \frac{U_e f_1}{U_e'} \frac{\partial}{\partial X} = \sum_{k=0}^{\infty} \theta_k \frac{\partial}{\partial f_k} + \sum_{k=1}^{\infty} G_k \frac{\partial}{\partial \alpha_k},$$

уравнения рассматриваемой проблемы и граничные условия приводятся окончательно к универсальному виду.

Определение функции $g(X)$ перенятое из работы [1] имеет форму

$$(14) \quad g(X) = \sqrt{\frac{2 \nu_1 X}{a \int_0^X U_e^{b-1} dX}}, \quad \text{где } a = \text{const.}$$

Подстановка соотношения (14) в формулу (6) приводит формпараметр f к следующему виду

$$(15) \quad f(X) = \frac{aB^2 U_e'}{U_e^b} \int_0^X U_e^{b-1} dX,$$

представляющий, по существу, интеграл уравнения импульсов (3). Благодаря этому обстоятельству, дополнительная интеграция этого уравнения, необходимая при применении первоначального метода Л.Г. Лойцянского [3] на конкретные задачи рассматриваемой проблемы, оказывается излишней.

Таким образом, после подстановки функции $g(X)$ (14), преобразования (1) получают следующий окончательный вид

$$(16) \quad X, \eta = \frac{U_e^{b/2} Y}{\sqrt{a v_1 \int_0^X U_e^{b-1} dX}}, \quad \psi = \sqrt{a v_1 \int_0^X U_e^{b-1} dX} U_e^{1-\frac{b}{2}} \Phi(X, \eta).$$

Нужно отметить что выражения (16), при особых значениях коэффициентов $a=b=2$ приводятся к известной поперечной переменной η и соответствующей функции тока ψ Гёртлера.

Посредством преобразований (16), универсальные уравнения рассматриваемой проблемы принимают следующую окончательную форму:

$$(17) \quad \begin{aligned} & \Phi_{\eta\eta\eta} + \frac{1}{2B^2} [aB^2 + f_1(2-b)] \Phi \Phi_{\eta\eta} + \frac{f_1}{B^2} (1 + S_1 + \alpha_1 H - \Phi_\eta^2) = \\ & = \frac{1}{B^2} \sum_{k=0}^{\infty} \theta_k (\Phi_\eta \Phi_{\eta f_k} - \Phi_{f_k} \Phi_{\eta\eta}) + \\ & + \frac{1}{B^2} \sum_{k=1}^{\infty} G_k (\Phi_\eta \Phi_{\eta \alpha_k} - \Phi_{\alpha_k} \Phi_{\eta\eta}); \\ & S_{1\eta\eta} + P_r \frac{1}{2B^2} [aB^2 + f_1(2-b)] \Phi S_{1\eta} + 2(P_r - 1) f_0 (\Phi_\eta \Phi_{\eta\eta})_\eta = \\ & = P_r \frac{1}{B^2} \sum_{k=0}^{\infty} \theta_k (\Phi_\eta S_{1 f_k} - \Phi_{f_k} S_{1\eta}) + \\ & + P_r \frac{1}{B^2} \sum_{k=1}^{\infty} G_k (\Phi_\eta S_{1 \alpha_k} - \Phi_{\alpha_k} S_{1\eta}); \\ & H_{\eta\eta} + P_r \frac{1}{2B^2} [aB^2 + f_1(2-b)] \Phi H_\eta - P_r \frac{1}{B^2} \frac{\alpha_2}{\alpha_1} \Phi_\eta H = \\ & = P_r \frac{1}{B^2} \sum_{k=0}^{\infty} \theta_k (\Phi_\eta H_{f_k} - \Phi_{f_k} H_\eta) + \\ & + P_r \frac{1}{B^2} \sum_{k=1}^{\infty} G_k (\Phi_\eta H_{\alpha_k} - \Phi_{\alpha_k} H_\eta), \end{aligned}$$

причем граничные условия имеют следующий вид:

$$(18) \quad \begin{aligned} \eta = 0 & : \Phi = \Phi_\eta = S_1 = 0; \quad H = 1, \\ \eta = \infty & : \Phi_\eta = 1; \quad S_1 = H = 0, \\ f_1 = f_{10} & : \Phi = \Phi_0; \quad S_1 = S_{10}; \quad H = H_0. \end{aligned}$$

2. Решение преобразованной системы уравнений

Поскольку решение системы уравнений (17), (18) в общем случае зависимости от всех введенных параметров (7), (11) практически неосуществимо, в дальнейшем исследовании необходимо ограничиться на их конечное число. Однако, имея в виду существование различных причин воздействия на развитие пограничного слоя, влияющих на систему (17), (18) посредством трех видов параметров (f_0, f_k, α_k), целесообразно решать рассматриваемую проблему наименьше в трехпараметрическом приближении, т.е.: $f_0 \neq 0, f_1 \neq 0, \alpha_1 \neq 0; f_k = 0; \alpha_k = 0$ ($k=2, 3, \dots, \infty$).

При этом из-за затруднений связанных с применением электронно-вычислительной машины (ЭВМ), которые бы возникли при решении полного трехпараметрического приближения (надобность большей действующей и внешней памяти машины, а также и более продолжительного времени для самого расчета), необходимо было произвести так называемую локализацию по некоторым из оставшихся параметров. Имея в виду выводы о интенсивности влияния отдельных параметров, сделанных при исследовании подобной проблемы [5], интегрирование системы (17), (18) проводилось в трехпараметрическом приближении, для двух различных случаев локализации:

1. дважды локализованном ($\partial/\partial f_0=0; \partial/\partial \alpha_1=0$), на рисунках обозначенном с „lokal“,
2. трижды локализованном, т. наз. автомодельном ($\partial/\partial f_0=0; \partial/\partial f_1=0; \partial/\partial \alpha_1=0$), на рисунках обозначенном с „autom“.

В первом случае система (17), (18) приводится к следующим уравнениям

$$(19) \quad \begin{aligned} \Phi_{\eta\eta\eta} + \frac{1}{2B^2} [aB^2 + f_1(2-b)] \Phi \Phi_{\eta\eta} + \frac{f_1}{B^2} (1 + S_1 + \alpha_1 H - \Phi_\eta^2) = \\ = \frac{Ff_1}{B^2} (\Phi_\eta \Phi_{\eta f_1} - \Phi_{f_1} \Phi_{\eta\eta}); \\ S_{1\eta\eta} + \frac{P_r}{2B^2} [aB^2 + f_1(2-b)] \Phi S_{1\eta} + 2(P_r - 1)f_0 (\Phi_\eta \Phi_{\eta\eta})_\eta = \\ = P_r \frac{Ff_1}{B^2} (\Phi_\eta S_{1f_1} - \Phi_{f_1} S_{1\eta}); \\ H_{\eta\eta} + \frac{P_r}{2B^2} [aB^2 + f_1(2-b)] \Phi H_\eta = P_r \frac{Ff_1}{B^2} (\Phi_\eta H_{f_1} - \Phi_{f_1} H_\eta), \end{aligned}$$

и соответствующим граничным условиям:

$$(20) \quad \begin{aligned} \eta = 0 : \Phi = \Phi_\eta = S_1 = 0; \quad H = 1, \\ \eta = \infty : \Phi_\eta = 1; \quad S_1 = H = 0, \\ f_1 = f_{10} : \Phi = \Phi_0; \quad S = S_{10}; \quad H = H_0. \end{aligned}$$

В другом случае получаются обыкновенные дифференциальные уравнения

$$(21) \quad \begin{aligned} \Phi_{\eta\eta\eta} + \frac{1}{2B^2} [aB^2 + f_1(2-b)] \Phi \Phi_{\eta\eta} + \frac{f_1}{B^2} (1 + S_1 + \alpha_1 H - \Phi_\eta^2) = 0; \\ S_{1\eta\eta} + \frac{P_r}{2B^2} [aB + f_1(2-b)] \Phi S_{1\eta} + 2(P_r - 1)f_0 (\Phi_\eta \Phi_{\eta\eta})_\eta = 0; \\ H_{\eta\eta} + \frac{P_r}{2B^2} [aB^2 + f_1(2-b)] \Phi H_\eta = 0, \end{aligned}$$

с граничными условиями

$$(22) \quad \begin{aligned} \eta = 0 : \Phi = \Phi_\eta = S_1 = 0; \quad H = 1, \\ \eta = \infty : \Phi_\eta = 1; \quad S_1 = H = 0. \end{aligned}$$

При этом нужно отметить что последнее граничное условие (20) получено в результате решения подобной задачи на пластинке, определенного, для случая соответствующего значения формпараметра $f_{10}=0$, следующей системой обыкновенных дифференциальных уравнений:

$$(23) \quad \begin{aligned} \Phi_{0\eta\eta\eta} + \frac{a}{2} \Phi_0 \Phi_{0\eta\eta} = 0; \\ S_{10\eta\eta} + P_r \frac{a}{2} \Phi_0 S_{10\eta} + 2(P_r - 1)f_0 (\Phi_{0\eta} \Phi_{0\eta\eta})_\eta = 0; \\ H_{0\eta\eta} + P_r \frac{a}{2} \Phi_0 H_{0\eta} = 0, \end{aligned}$$

и граничным условиями

$$(24) \quad \begin{aligned} \eta = 0 : \Phi_0 = \Phi_{0\eta} = S_{10} = 0; \quad H_0 = 1, \\ \eta = \infty : \Phi_{0\eta} = 1; \quad S_{10} = H_0 = 0. \end{aligned}$$

Системы (19), (20), (21), (22); (23), (24) решались численно, методом конечных разностей на ЭВМ IBM360, причем соответствующие конечно-разностные уравнения интегрировались известным методом „прогонки“ [6] по специально составленной стандартной программе. Расчет происходил для двух пар коэффициентов a и b ($a=2, b=2; a=0.4408, b=5.7140$), причем рассматривалось течение воздуха ($P_r=0,72$) в случае тепловой функции на стенке $\alpha_1=S_w=0.4$ и двух значений параметра сжимаемости ($f_0=\kappa=0.5$ и $f_0=0.95$).

В результате численного интегрирования получены кроме универсальных распределений характерных для пограничного слоя величин $A(f_1)$, $B(f_1)$, $F(f_1)$, $\zeta(f_1)$, $H(f_1)$, определенных ранее формулами (5), (6), также и универсальные, характерные для сжимаемого пограничного слоя, величины ζ^* , ζ_s , H_s , F_s , f_{s1} , необходимые для практического расчета, причем их определение дано следующими выражениями:

$$\zeta^* = [\partial S / \partial (Y / \Delta^{**})]_{Y=0} = B(S_{\eta})_{\eta=0}; \quad \zeta_s = [\partial S / \partial (Y / \Delta_s^{**})]_{Y=0} = \zeta^* H_s;$$

$$(25) \quad H_s = \Delta_s^{**} / \Delta^{**} = \frac{1}{B} \int_0^{\infty} S \Phi_{\eta} d\eta, \quad \text{где} \quad \Delta_s^{**} = \int_0^{\infty} \frac{U}{U_e} S dY;$$

$$F_s = -2 \left(\frac{\zeta_s}{P_r} + f_{s1} \right); \quad f_{s1} = f_1 H_s^2 = U_e' \frac{\Delta_s^{**2}}{\nu_1}.$$

Так нпр. на Рис. 1 представлено полученное универсальное распределение $B(f_1)$ необходимое для расчета толщины потери импульса (5).

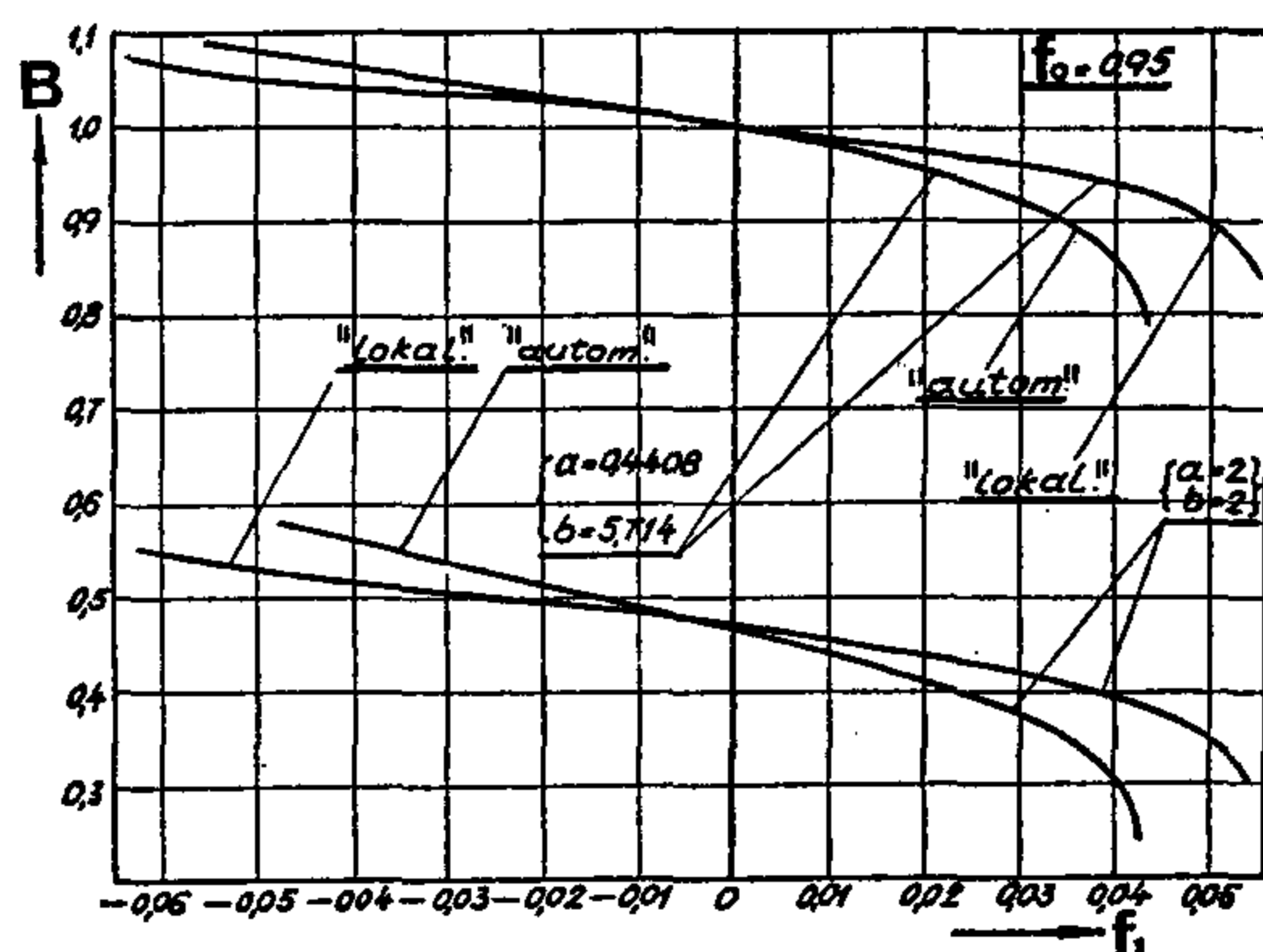


Рис. 1

В особых таблицах помещенные значения этой и остальных характерных величин (5), (6), (25) дают возможность произвести полный расчет пограничного слоя для конкретных примеров рассматриваемой проблемы при помощи интегрального, также в универсальном виде рассчитанного, соотношения

$$(26) \quad \frac{f_1(X)}{B^2(X)} = \frac{a U_e'(X) \int_0^X U_e^{b-1}(X) dX}{U_e(X)^b} = \beta(X),$$

произшедшего из выражения (15) и осуществляющего непосредственный переход от формпараметра f_1 к переменной Дородницына-Стюартсона X .

Сам способ определения характерных величин необходимых для расчета показан схематически на последнем, в виде номограммы, представленном Рис. 7.

3. Примеры

Полученные универсальные таблицы использованы для исследования двух примеров.

В первом случае, решалась задача при задании внешней скорости „фиктивного“ потока несжимаемой жидкости в безразмерном синусоидальном виде: $U_e(X) = \sin X$. Исходя от этого распределения, численно рассчитана правая сторона интегрального соотношения (26) $\beta(X)$ и таким образом восстановлена связь с соответствующими, посредством интерполяции определенными табличными значениями f_1/B^2 . Учитывая что для течений у которых $U_e(0) = 0$ ($U_e'(0) \neq 0$) начальное значение $\beta(0) = a/b$, при помощи универсальных таблиц определена связь $f_1 = f_1(X)$, дающая возможность расчета, после известных трансформаций исходных формул, искомых характерных величин пограничного слоя рассматриваемой задачи.

Так нпр. напряжение трения на стенке, рассчитано при помощи выражения

$$(27) \quad \tau_w^* = \left(\frac{\partial U}{\partial Y} \right)_{Y=0} = U_e \sqrt{U_e' / f_1} \zeta.$$

Из расположения соответствующих кривых, представленных на Рис. 2. можно прийти, что касается выбора значений коэффициентов a и b и последовательности в отношении точности получаемой в результате различных локализаций, к заключениям, выведенным уже ранее в аналогичном случае несжимаемой жидкости (7).

А именно, во-первых следует, что автомодельные решения (обозначенные на Рис. 2 с „*autom.*“). (приводят в оба случая ($a=2, b=2$ и $a=0.4408, b=5.714$) к преждевременному отрыву пограничного слоя по отношению к результатам полученным посредством „дважды локализованных“ уравнений (19), (20). (обозначенным на Рис. 2 с „*lokal.*“).

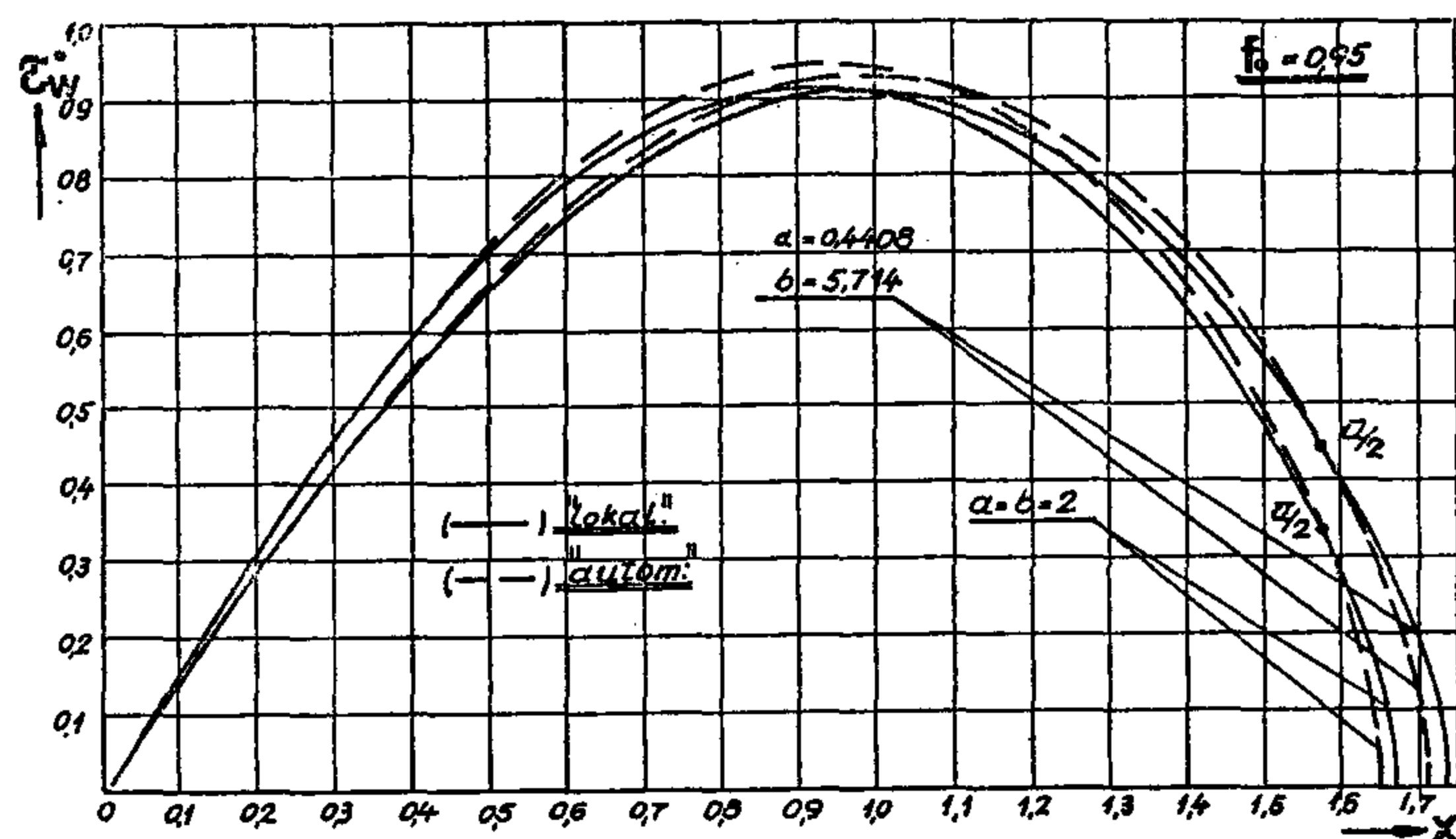


Рис. 2

Во-вторых, автомодельное решение, рассчитанное при значениях $a=0.4408$; $b=5.5140$ представляет аппроксимацию более близкую к точному решению, по сравнению с обоими приближениями полученными при помощи коэффициентов $a=2$; $b=2$.

Во втором примере проводилось исследование пограничного слоя при дозвуковом обтекании воздухом круглого цилиндра, причем распределение действительной внешней скорости принято в безразмерном синусоидальном виде $u_e(x)=\sin x$.

Рассматриваемая задача решалась при нескольких значениях числа Маха M_∞ (0.2; 0.4; 0.6; 0.8; 1.0). При этом посредством интеграла

$$(28) \quad X(x) = \int_0^x \left[1 - \frac{u_e(x)^2}{C} \right]^{\frac{3k-1}{2(k-1)}}$$

$$\text{где } C = 1 + \frac{2}{(k-1)M_\infty^2} = \text{const.}; \quad (k=1.4),$$

восстановлена сперва, между переменной Дородницына-Стюартсона X и физической координатой x соотношение $X(x)$, при помощи которого, затем, рассчитана скорость фиктивного потока несжимаемой жидкости

$$(29) \quad U_e(x) = u_e \left(1 - \frac{u_e^2}{C} \right)^{-1/2}.$$

Из расположения соответствующих графиков представленных на Рис.3 и Рис. 4 нетрудно подметить что при $M_\infty \rightarrow 0$, $X \rightarrow x$ и $U_e \rightarrow u_e$, что и следовало ожидать.

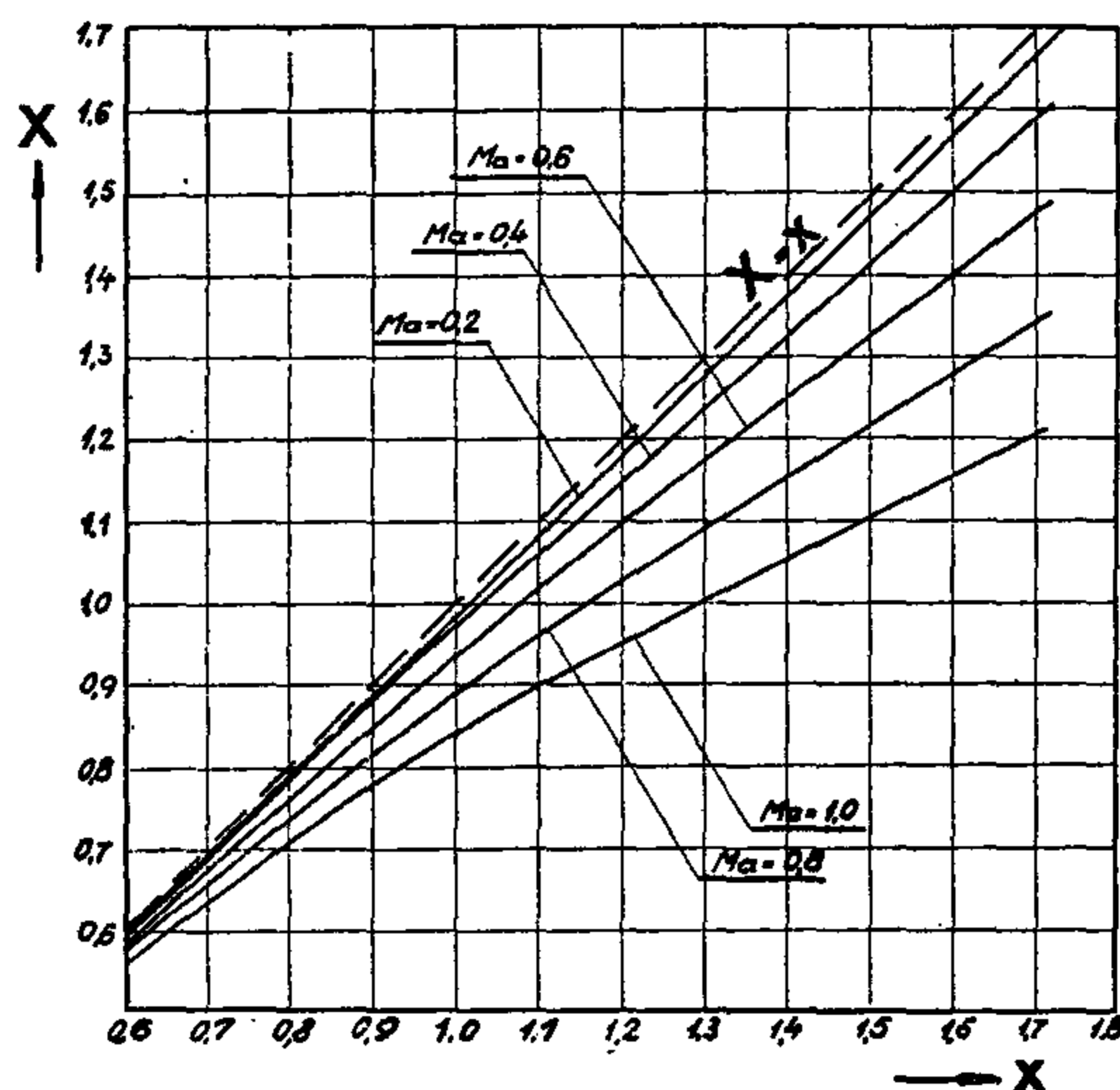


Рис. 3

Однако нужно отметить, что из-за возможной многозначности соотношения (28) и определения самой фиктивной скорости (29), применение преобразования Дородницына-Стюартсона к расчету конкретных задач при заданному распределению u_e ограничено следующим условием:

$$(30) \quad 1 - \frac{u_e^2}{C} > 0, \quad \text{т.е.} \quad u_e^2 < C.$$

Это обстоятельство необходимо учитывать при исследовании надзвуковых течений, поскольку с $M_\infty \rightarrow \infty$ постоянная C стремится к своему наименьшему значению ($C \rightarrow 1$).

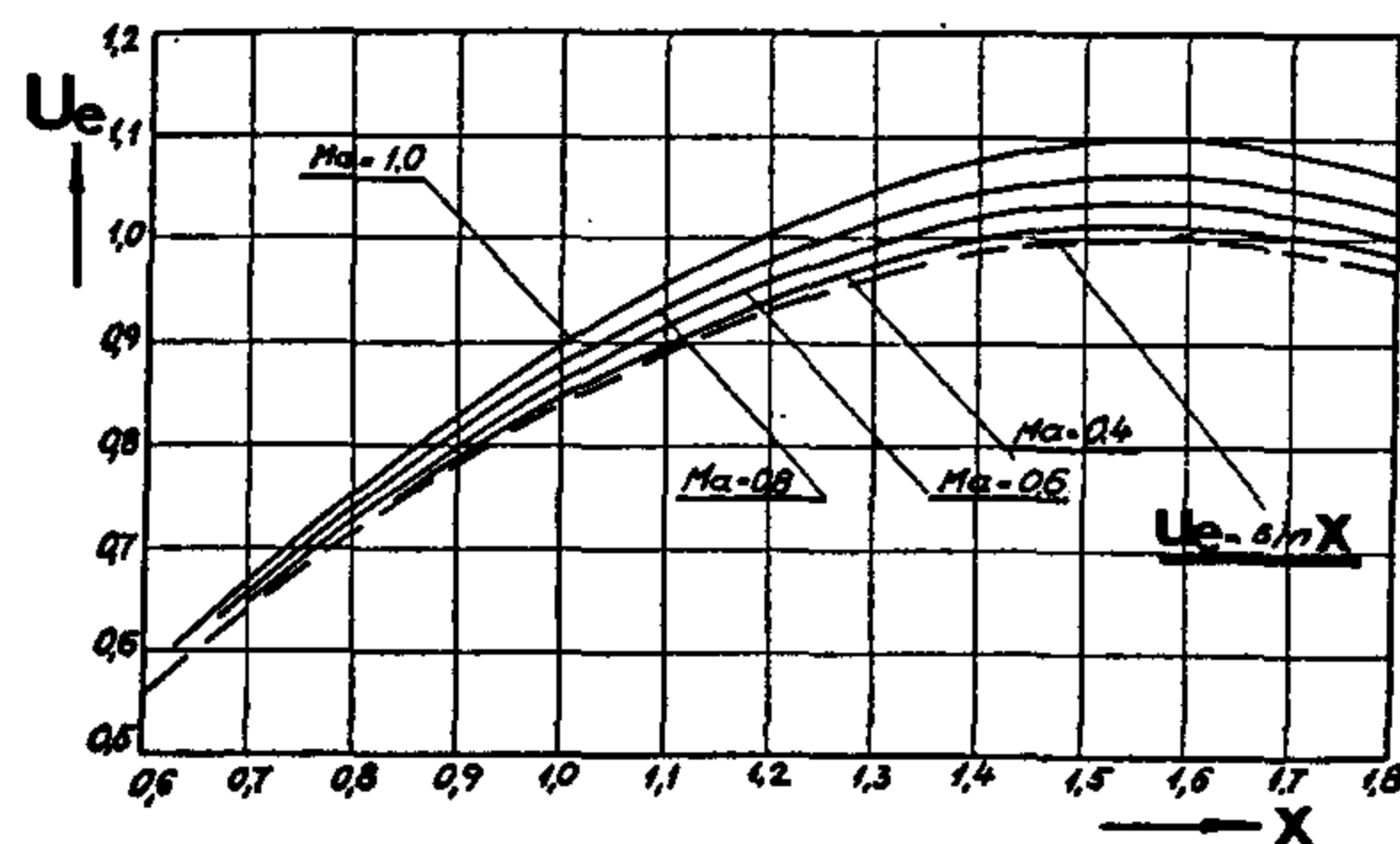


Рис 4

Подстановка полученных распределений (28), (29) в интегральное выражение (26) и численный расчет его правой стороны $\beta(X)$ приводит, посредством соотношения $\beta(X) = f_1/B^2$, учитывая что $\beta(0) = a/b$, к искомой связи между формпараметром f_1 и физической координатой $f_1 = f_1(x)$ для любого числа Маха M_∞ .

Полученное соотношение $f_1 = f_1(x)$ дает возможность определить сперва универсальные характеристики в рассматриваемой точке контура, а затем и рассчитать соответствующие величины пограничного слоя исследуемой задачи.

На Рис.5 и Рис.6 представлены распределения безразмерного напряжения трения на стенке τ_w^* и локального числа Нуссельта Nu_x , рассчитанные посредством следующих формул:

$$(31) \quad \tau_w^* = PF_\tau \frac{\zeta}{B}, \quad \text{где} \quad PF_\tau = \chi_e^{\frac{2k-1}{k-1}} U_e \sqrt{U_e'/\beta}$$

$$Nu_x = PF_T \frac{\zeta^*}{B}, \quad \text{где} \quad PF_T = \frac{x \chi_e^{\frac{3k-1}{2(k-1)}}}{(T_w - T_\infty) (S_w + 1)^2} T_w \sqrt{U_e'/\beta}$$

для различных вышеприведенных значений числа Маха M_∞ .

Из расположения кривых на Рис. 5 следует что увеличение числа Маха M_∞ в области дозвуковых течений, оказывает неблагоприятное влияние на развитие пограничного слоя, содействуя смещению точки отрыва вверх по потоку.

На это явление, а также и на обстоятельство что одновременно уменьшается и максимальное значение напряжения трения на стенке указал и Ферри [8] на основании экспериментальных наблюдений над обтеканием шара.

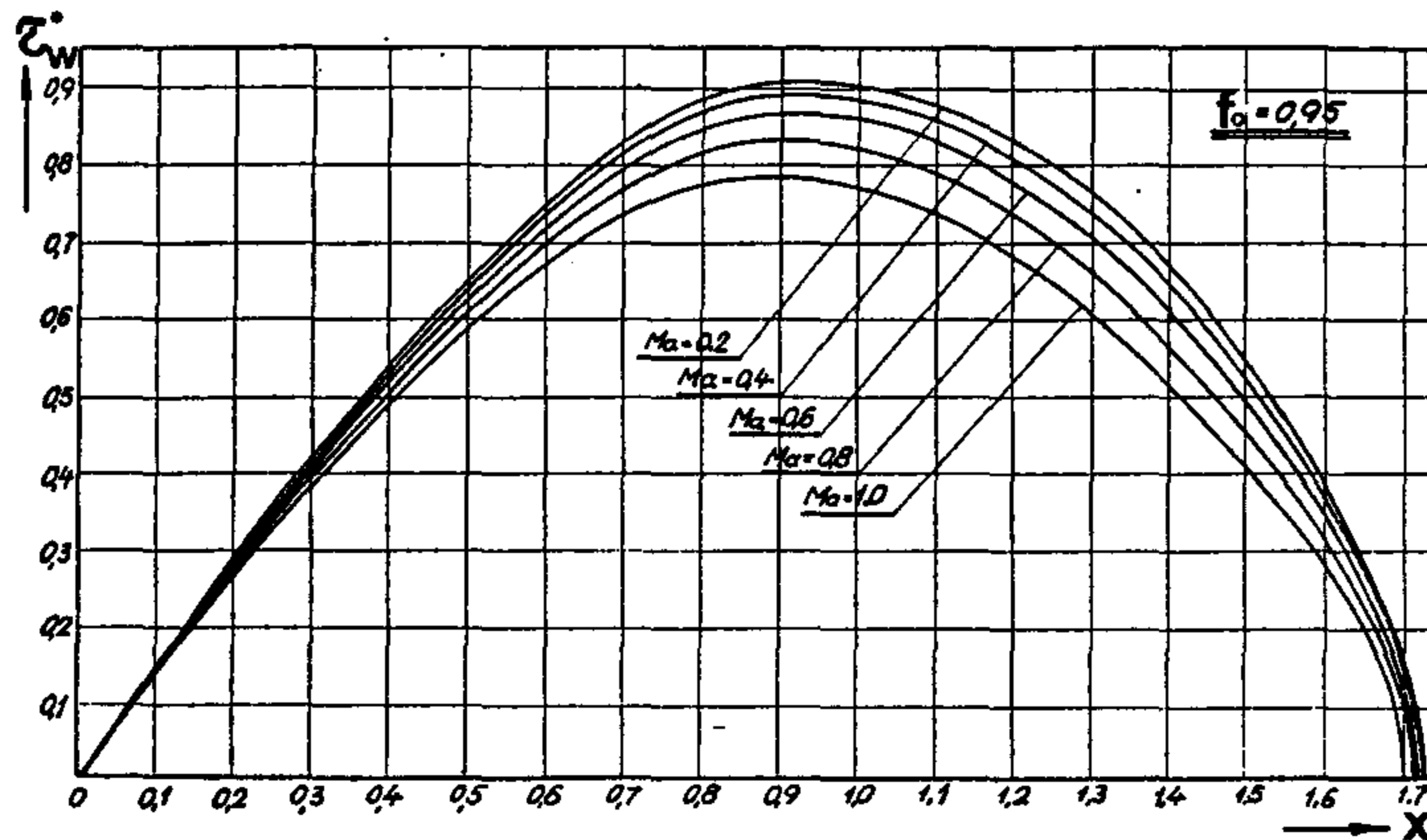


Рис. 5

Распределения локального числа Нусельта Nu_x , показанные на Рис. 6 дают возможность обнаружить, кроме перемен вызванных изменением значений числа Маха M_∞ , также и существенное влияние параметра сжимаемости f_0 на развитие тепловых характеристик пограничного слоя. Одновременно нужно отметить что противоположно этому, перемена параметра несжимаемости f_0 влияет на изменение динамических характеристик очень мало.

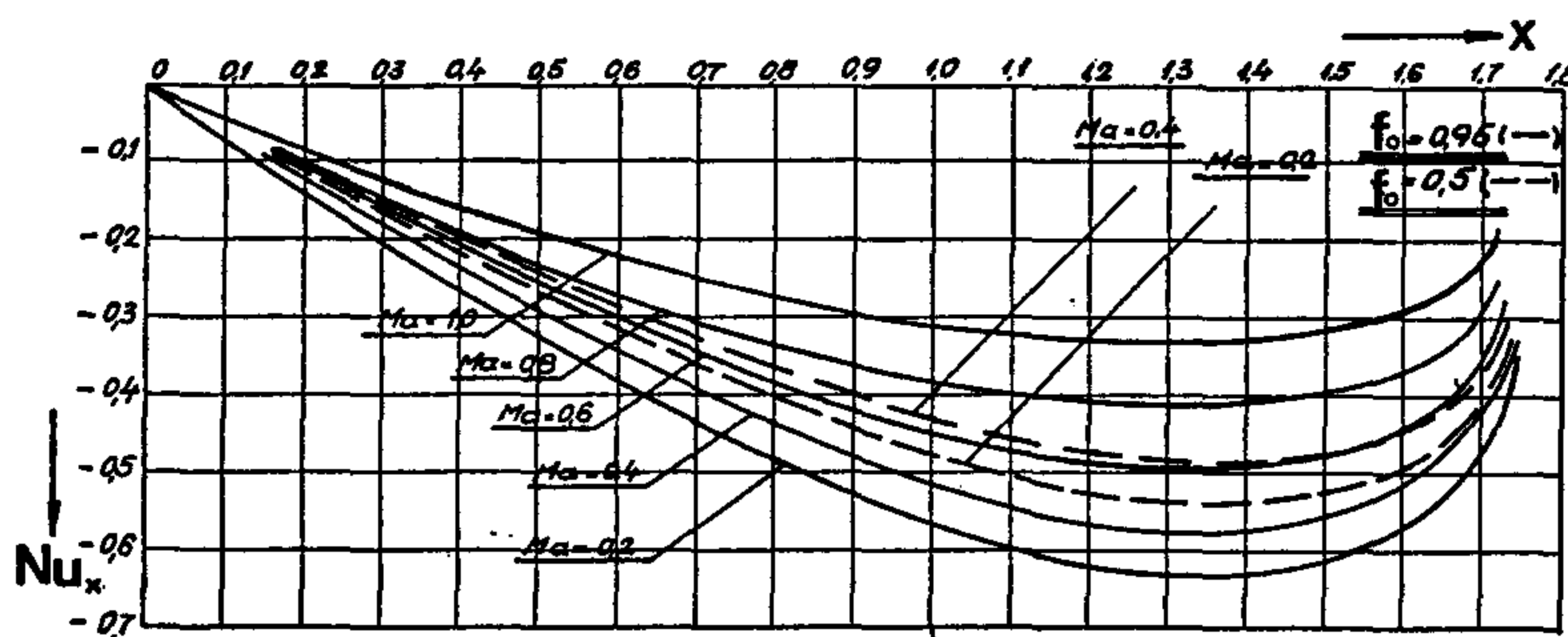


Рис. 6

На Рис. 7 схематически показан при помощи стрелок графический способ определения формпараметра f_1 посредством кривых $\beta(x)$ и f_1/B^2 для некоторого произвольно принятого значения физической координаты x . Одновременно эта номограмма указывает на удовлетворение условия единственности решения, необходимого для применения предложенного универсального метода на расчет конкретных примеров рассматриваемой проблемы. На Рис. 7 изображены также и кривые представляющие распределения универсальных характеристик ζ/B и ζ^*/B , и вспомогательных функций PF_τ и PF_T .

Умножением соответствующих, на Рис. 7 графическим способом, для некоторой физической координаты x_0 , определенных значений $(PF_T)_0$ и $(\zeta/B)_0$, получается, имея в виду формулу (31), безразмерное напряжение трения на стенке $(\tau_w^*)_0$. Умножение соответствующих, графически определенных значений $(PF_T)_0$ и $(\zeta^*/B)_0$ приводит аналогичным способом к искомому локальному числу Нуссельта $(Nu_x)_0$.

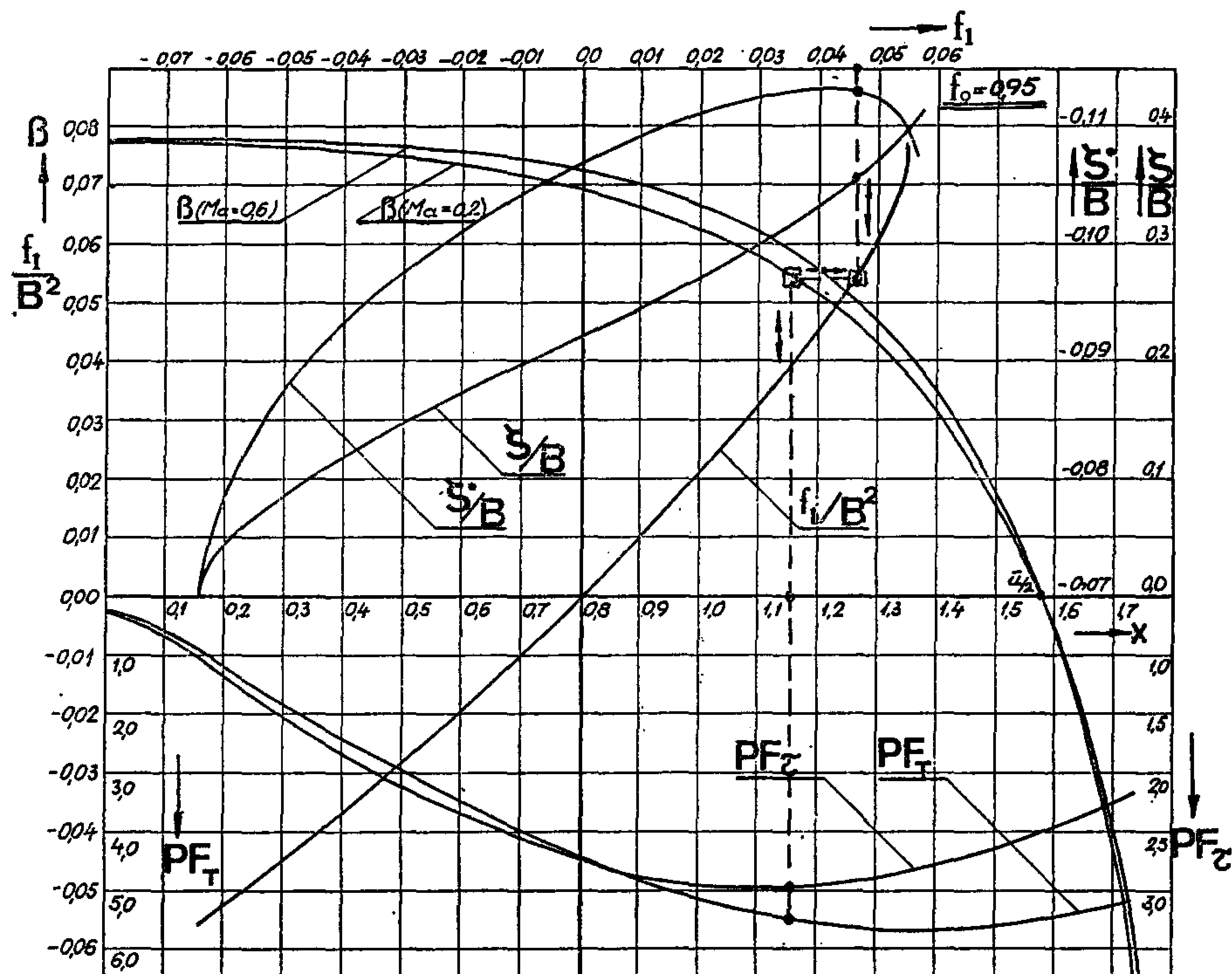


Рис. 7

ЛИТЕРАТУРА

- [1] Saljnikov, V. und Boričić, Z., *Die universellen Grenzschichtgleichungen für den Fall der kompressiblen laminaren Strömung*, ZAMM 54, T 146—T 148 (1974).
- [2] Сальников, В. Н. *Обобщение универсального уравнения теории пограничного слоя Л. Г. Лойцянского*, Publ. de l' Inst. Math. T. 13 стр. 105—116 (1972).
- [3] Лойцянский, Л. Г., *Универсальные уравнения и параметрические приближения в теории ламинарного пограничного слоя*, ПММ, Т. 29, стр. 70—87 (1965)
- [4] Капустянский, С. М., *Ламинарный пограничный слой в газовом потоке больших скоростей*, Труды ЛПИ, № 248, стр. 59—64 (1965).
- [5] Любенов, В. Й., *Двухпараметрическое решение уравнений ламинарного пограничного слоя в газе*, Труды ЛПИ, № 313, стр. 28—35 (1970).
- [6] Симунни, Л. М. и Тереньев, Н. М., *Численное решение уравнений „однопараметрической“ теории пограничного слоя*, Труды ЛПИ, № 248, стр. 56—58 (1965).
- [7] Saljnikov, V., *A contribution to Universal Solutions of the Boundary layer Theory*, Teorijska i primenjena Mehanika, Vol. 4, pp. 139—163, 1978).
- [8] Ферри, А., *Аэродинамика сверхзвуковых течений*, Гостехиздат, Москва, (1953)

Д. Виктор Сальников, Невесиньска 17, 11000 Београд, Югославия
 Др. Зоран Боричич, Станка Пауновича 43, 18000 Ниш, Югославия